

BİR KEDİDE RASTLANILAN HİPERŞİLOMİKRONEMİ, FELINE INFECTIOUS PERİTONİTIS (FIP) VE PSÖYDOŞİLOZ EFÜZYON OLGUSU

Nilüfer AYTUĞ*

Deniz Seyrek İNTAŞ***

Zeki YILMAZ*

M. Müfit KAHRAMAN**

Özlem ÖZMEN**

ÖZET

Bu olgu raporunun materyalini abdominal dolgunluk şikayeti ile Uludağ Üniversitesi Veteriner Fakültesi kliniklerine getirilen 1 yaşlı, yerli, erkek kedi oluşturdu. Klinik muayene ve rutin hematolojiyi takiben abdominal sıvının mikroskopik ve biyokimyasal analizleri yapıldı. Nonregeneratif anemi, nötrofilik lökositoz, relativ lenfopeni ve psöydoşiloz efüzyon olduğu belirlenen kediye ait kanın bulanık olduğu dikkat çekti. Hipertrigliseridemi saptanan kedide şilomikron ve Lipoprotein Lipaz (LPL) Aktivite testi pozitif bulundu. FeLV ve FIV negatif olan kedi, serum ve peritoneal sıvıda yapılan PCR analizleri sonucunda FIP pozitif bulundu. Histopatolojik muayene sonucunda FIP'a özgü şiddetli serozal ve kapsüler pyogranülamatöz yangı, histokimyasal boyamalar sonucunda hipersilomikronemiyi belgeleyen ince kolesterol kristalleri, doymuş lipidler ve köpük hücreleri içerisinde seroid pigmentler ve makrofajlar gözlendi.

Anahtar Kelimeler: Hiperşilomikronemi, FIP, Psöydoşiloz efüzyon, kedi.

* U.Ü. Vet. Fak. İç Hastalıkları Anabilim Dalı, Bursa-Türkiye.

** U.Ü. Vet. Fak. Patoloji Anabilim Dalı, Bursa-Türkiye.

*** U.Ü. Vet. Fak. Cerrahi Anabilim Dalı, Bursa-Türkiye.

SUMMARY

A Complicated Case of Hyperchylomicronemia, Feline Infectious Peritonitis and Pseudochylous Effusion in A Cat

A one year old male, domestic cat was referred for examination at the Veterinary Hospital of the Faculty of Veterinary Medicine of Uludağ University, presented with abdominal distention. Clinical examination, hematology, microscobical and biochemical analysis of abdominal fluid were performed. He had nonregenerative aneamia, neutrophilic leukocytosis, relative lymphopenia and pseudochylous effusion. Lactascent serum was observed, he had hypertriglisedimia; chylomicon and Lipoprotein Lipaz Activity tests were positive. Serum was evaluated for FeLV, FIV and FIP serologically and PCR analysis of the serum and effusion were performed. Positive results were obtained for FIP. Histopathology revealed severe serosal and capsular pyogranulamatous inflammation. Histochemistry depicted fine cholesterol crystals, saturated lipids, ceroid pigments within the foam cells and macrophages.

Key words: *Hyperchylomicronemia, FIP, pseudochylous effusion, cat.*

GİRİŞ

Plazma şilomikron konsantrasyonunun yükselmesi hiperşilomikronemi olarak adlandırılır. Şilomikronlar trigliseritten zengin büyük lipoprotein kompleksleridir ve lipoprotein lipaz (LPL) tarafından plazmadan uzaklaştırılırlar. Bu lipoproteinlerin temizlenişinin aksaması hiperşilomikronemiye yol açar¹⁻⁴.

Hiperlipoproteineminin sekunder nedenlerini köpeklerde diabetes mellitus, hipotiroïdizm ve nefrotik sendrom; kedilerde ise diabetes mellitus ve bazı ilaç (megeosterol asetat) uygulamaları oluştururken, kalıtsal lipoprotein metabolizması bozuklukları da primer olarak hiperşilomikronemiye yol açar. Kedilerde en iyi bilinen hiperşilomikronemi nedeni kalıtsal LPL eksikliğidir. Mongreal yavruları ve minyatür schnauzer'lerde de konjenital LPL eksikliğine rastlanıldığı bildirilmiştir^{1,2,5,6,7,8}.

Bazı kedilerde ağır bir şilomikronemi olmakla birlikte açıklanamayan nedenlerle klinik belirti gözlenmediği bilinmektedir. Buna karşın şilomikron ve trigliserit konsantrasyonunun düşük olduğu kedilerde de belirgin klinik belirtiler şekillenebilir. Etkilenen kedilerde yaygın olarak gözlenen klinik belirtiler, xanthoma ve lipaemia retinalistir^{3,4,8,9}. Tanıda açlık kan örnekleri incelenir. Kolesterol ve trigliserit konsantrasyonlarının mutlaka belirlenmesi ve

hiperlipideminin primer mi yoksa sekunder mi olduğunu karar verilmesi gereklidir. Hiperşilomikronemili kedilerde kan kremalı domates çorbası görünümündedir. Etkilenen kedilerde kolesterol değeri 130 mg/dl'nin; trigliserit değeri ise 500 mg/dl'nin üzerindedir. Plazma lipoprotein sınıflarının identifikasiyonu tanıda yardımcı olur, şilomikroneminin pozitif olduğu olgularda heparin uygulayarak Lipoprotein Lipaz Aktivite testi ile lipaz aktivitesi eksikliğine bağlı bir problem olup olmadığı belirlenir. Heparin enjeksiyonu ile LPL'nin kapiller endotellerinden serbest kalışı sağlanarak aktivitesinin belirlenmesine dayanan bu test için kediye 40 IU/kg heparin uygulanır ve heparin uygulanmadan önce ve uygulandıktan 15 dakika sonra alınan kan örneklerinde serum lipid konsantrasyonları belirlenir. Heparin uygulanmasından önceki trigliserit değeri ile uygulandıktan 15 dakika sonra alınan kandaki trigliserit değerleri arasında önemli bir farkın olmaması LPL eksikliği olduğunu yani primer hiperşilomikronemiyi belirler^{3,7,10}.

Hiperşilomikronemi'li tüm kedilerdeki makroskopik ve mikroskopik bulguları çoğu dokudaki lipid birikimi oluşturur. Farklı bölgelerde olmakla birlikte genellikle xanthoma oluşur. Periferal neuropati belirtileri gösteren kedilerde xanthoma spinal sinirlere yerleşmiş ve sinir boyunca santimetrelerce yayılmıştır. Xanthoma böbrek, karaciğer, dalak, kalp, kas, tendolar, mezenterium ve i.v. enjeksiyon bölgesi gibi pek çok dokuda meydana gelebilir, xanthomatöz lezyonun histopatolojisi anatominik bölge farkı gözetmez ancak yaş, lokal doku hasarı derecesi veya baskı derecesine göre değişir. Xanthoma bir kan pihtısı ve dejeneratif komponentleri arasına dağılmış, vakuollu sitoplazmalı (köpük hücreli); çok büyük, bazen multinukleus'lü makrofajlarla karakterizedir. Ceroid, lipofuscin, haemosiderin, kolesterol ve trigliserit kristalleri de bulunabilir. Daha yaşlı xanthomalar bir granülasyon dokusu ve fibröz doku ile sarılmıştır. Kedilerde arterioskleroz bulgusuna rastlanmamıştır¹¹. Ancak Wisselink ve ark.¹² hiperlipoproteinemi'li bir kedide koroner damarlar, aorta duvarı ve abdominal damarlarla arterioskleroz şeklini saptamışlardır.

FIP klasik olarak yangının yerleşim yerine yaygınlığına ve şekillenen effusionun miktarına göre yaş ve kuru olarak sınıflanır^{3,13,14}. Genellikle 6 ay - 1 yaşındaki kedilerde görülen hastlığın erken dönemlerinde klinik bulgular nonspesifikiftir, ancak peritoneal efüzyona bağlı abdominal genişleme hasta sahibinin ilk dikatini çeken bulgu olabilir¹⁵⁻¹⁸. Daha önce enfeksiyona yaklanmış olan kedilerde coronavirus titresi pozitif olduğu ve asemptomatik kedilerde de yüksek titreler görülebildiği için seroloji tek başına FIP'in kesin tanısı için yeterli olamaz. Günümüzde tanı ancak biopsi materyalinin ya da post-mortem materyalin histopatolojik muayenesi ile kesinleştirilebilir. Tanı için rutin olarak kullanılabilecek bir teste duyulan gereksinimi karşılamak amacıyla direkt olarak kedi kanındaki Feline Coronavirus RNA'sının saptayan bir Polimeraz Chain Reaction testi (PCR) geliştirilmiştir. Testin avantajı devam eden enfeksiyonu belirlemesidir¹⁵.

Bu olgu Hiperşilomikronemi ve FIP'in birlikle gözlenmesi ve FIP'a bağlı olarak abdomende biriken sıvının pseudochylous karakterde olması nedeni ile ilginç bulunmuştur.

ANAMNEZ

1 yaşlı, erkek kedi, 2 gündür karnında şişkinlik olduğu şikayetü ile getirildi. İştahı iyi olan hastanın, halsizlik dışında herhangi bir şikayetü yoktu ve sağaltım uygulanmamıştı.

Klinik Bulgular

Ateş, nabız, solunum ve lenf yumruları normaldi. Mukozaların solgun ve anemik oldukları dikkati çekiyordu. Abdomen şişkin ve gergindi. Abdomenin radyolojik ve ultrasonografik muayeneleri yapıldı. Sıvının analizi ve sağaltım amacıyla abdомino sentez yapılarak alınan sıvı süt görünümündeydi. Cefazolin Sodium (20 mg/kg, IM) ve yağ oranı düşük diyet önerildi. Her gün abdominal sıvı alındı, ancak sağaltımın ikinci gününde ön ayaklarda ödem şekillendi. Uygulanan diüretik sağaltımı ile ödem giderildi ancak sıvının miktarı ve niteliğinde herhangi bir değişiklik olmaması ve giderek iştahın azalması nedeni ile deneysel laparatomı yapılması uygun bulundu. Deneysel laparatomiden iki gün sonra ölen kedinin otopsisi yapıldı.

Şilomikron Testi: Rutin hemogram için alınan antikoagulantlı kanın domates çorbası görünümünde olduğu gözlandı. Kedinin aç olduğu gözönünde alınarak hiperşilomikronemi olasılığı düşünüldü ve alınan kan +4°C'de bir gece bekletildi. Sonuç olarak, yüzeye şilomikronların neden olduğu krema benzeri bir tabaka oluştuğu gözlandı (Resim: 1). Düşük yağılı diyete rağmen hiperşilomikronemi devam etti.

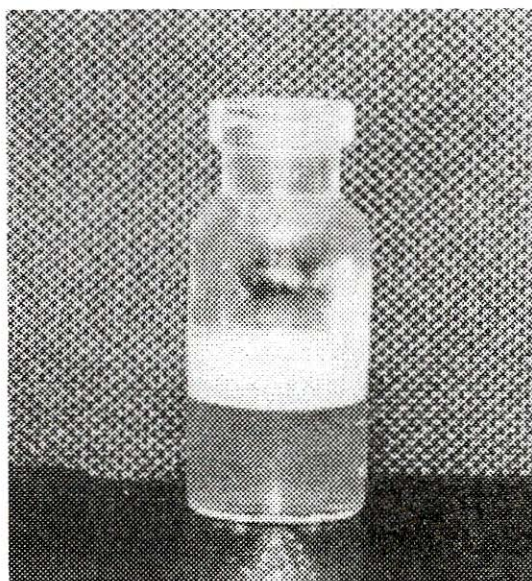
Lipoprotein Lipaz Aktivitesi Testi: Olguda 1905 mg/dl olan ilk trigliserit değerinin heparin uygulandıktan sonra da 1800 mg/dl olarak kaldığı gözlandı.

Hematoloji: Lökositozis (32.900), nötrofil (% 92), anemi (PCV - 18; eritrosit-2.110.000, Hb - 7.5 mg/dl) saptandı ve sağaltıma rağmen anemi önlenemedi.

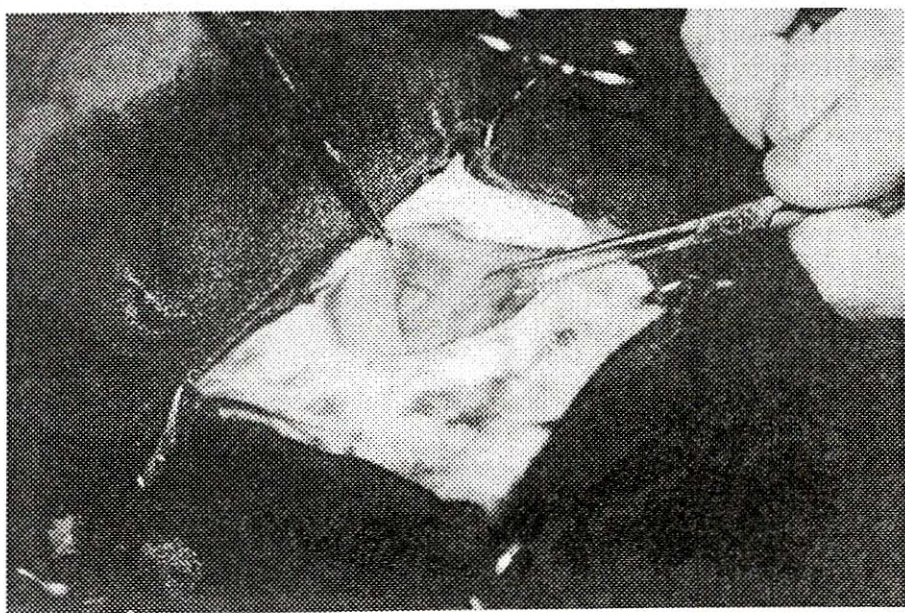
Biyokimyasal Bulgular: Biyokimyasal parametrelerin çoğunu (glukoz, üre, kreatinin, amilaz, sodyum, potasyum, klor, ALT, tiroid hormonları gibi) normal olduğu belirlenirken, trigliserit (1905 mg/dl),コレsterol (2999 mg/dl), total protein (8.5) değerleri yüksek bulundu.

Peritoneal Sıvı Analizi: Sıvı yoğun ve süt görünümünde idi (Resim: 2). 7500 lökosit/ml içeriyordu, total protein değeri 3.8 mg/dl, albümün 2.3 g/dl, globulin 1.5 g/dl, albumin/globulin: 1.53, totalコレsterol 197 mg/dl, trigliserit: 82 mg/dl, total bilirubin 0.4 mg/dl idi. Peritoneal sıvının süt beyazı olması ilk bakıda

chyloabdomen tanısına yönlendirdi. Ancak analiz sonucunda total kolesterol düzeyinin trigliseritten daha yüksek olması ve eter testi¹⁹ ile rengin açılması ile sıvının pseudochylous karakterde olduğu belirlendi.



*Resim: 1
Olguda şilomikron testi
Chylomicron test in the case*



*Resim: 2
İntra operatif şilöz ascites
Intra operatif chylous ascites.*

FeLV, FIV - FIP Test Bulguları: SnapTM FeLV Antigen test ve FIV Virus Antibody Test sonuçları negatif, FIP-titresi < 20, FIP/PCR sonucu pozitif bulunmuştur.

Deneysel Laparatomı Bulguları: Abdomenin beyaz, yoğun bir sıvı ile kaplı olduğu gözlenmiş, tüm sıvı alındıktan sonra omentumun kalınlaşmış ve fibrin kitleleri ile kaplanmış olduğu gözlenmiştir. Abdominal boşluktaki diğer organların da fibrinöz bir kitle ile kaplandığı ve omentum ile tüm peritoneal yüzeylerin gri-beyaz granüler görünümde olduğu belirlenmiştir.

Otopsi Bulguları: Karın boşluğunda, omentum üzerinde ve barsaklar arasında sarı, kısmen fibrinöz bir kitle çökelmişti. Omentum nodüller görünümdede ve büzülmüş olup, barsakları kısmen birbirlerine yapışmışlardı. Mide ve omentum arasında da yapışmalar vardı. Karaciğer ve dalağın kapsülesi siddetli fibrin oluşumu vardı. Akciğer boşluğunda herhangi bir sıvı saptanamadı ancak akciğerlerde atelektezi olduğu gözlendi.

Histopatolojik Bulgular: Karaciğer, dalak, duedonal ve mezenterik lenf düğümlerinin kapsülalarında ve mide, pankreas, duedonum, jejenum, omentum serozasında lenfosit, plazma hücreleri, makrofaj, köpük hücreleri, nötrofil infiltrasyonu ve bağ doku artışı ile karakterize şiddetli bir yangı görüldü (Resim: 3). Mononükleer hücrelerin perivasküler kümelenmesi dikkat çekiyordu. Benzer perivasküler infiltrasyonlara beyinde substentia albada ve peribronchial damarların çevresinde de rastlandı. Akciğerlerin interalveoler septumu mononükleer hücre infiltrasyonuna bağlı olarak kalınlaşmış, pleura fibrözleşmiş, mezenterik hücreler küsim olarak değişime uğramışlardı. Karaciğer, dalak ve lenf düğümleri kapsülalarının yangısı paranşım dokusuna kadar uzanıyordu. Mezenterik lenf nodülleriin korteksi nekrotik olup, medullada şiddetli bir retikuloendotelial hücre infiltrasyonu dikkati çekiyordu, boşluklar pigmentli makrofajlar ve köpük hücreleri ile doluydu (Resim: 4). Kapsüler, serozal ve lenf düğümlerindeki paranşimal yangı hücreleri içerisindeki makrofajların sitoplasmalarında Ziehl-Nielsen ve Fite Faraco boyası ile acid-fast boyanan damlacıklar görüldü. Köpük hücreleri daha çok sitoplazma kenarında pozitif reaksiyon gösteriyordu ve sitoplasmaları vakuollerle dolu idi. Oil red - O ve Sudan Black ile boyanan parafin kesitlerde köpük hücrelerinin sitoplasmalarında çeperde ve makrofajlarda ise globül/granül tarzında pozitif reaksiyon gözlandı. Arteriol duvarında da pozitif reaksiyon vardı (Resim: 5). Ayrıca hücre duvarında schultz testi ile kolesterol (+) bir reaksiyon elde edildi (Resim: 6).

TARTIŞMA

Hiperşilomikronemi plazmada şilomikron konsantrasyonunu yükselmesidir ve hiperşilomikronemili hastaların kanı aç iken yoğun ve bulaniktır¹⁰. Bu olguda hasta aç iken rutin hematoloji için alınan kanın kremali domates çorbası

FeLV, FIV - FIP Test Bulguları: SnapTM FeLV Antigen test ve FIV Virus Antibody Test sonuçları negatif, FIP-titresi < 20, FIP/PCR sonucu pozitif bulunmuştur.

Deneysel Laparatomı Bulguları: Abdomenin beyaz, yoğun bir sıvı ile kaplı olduğu gözlenmiş, tüm sıvı alındıktan sonra omentumun kalınlaşmış ve fibrin kitleleri ile kaplanmış olduğu gözlenmiştir. Abdominal boşluktaki diğer organların da fibrinöz bir kitle ile kaplandığı ve omentum ile tüm peritoneal yüzeylerin gri-beyaz granüler görünümdede olduğu belirlenmiştir.

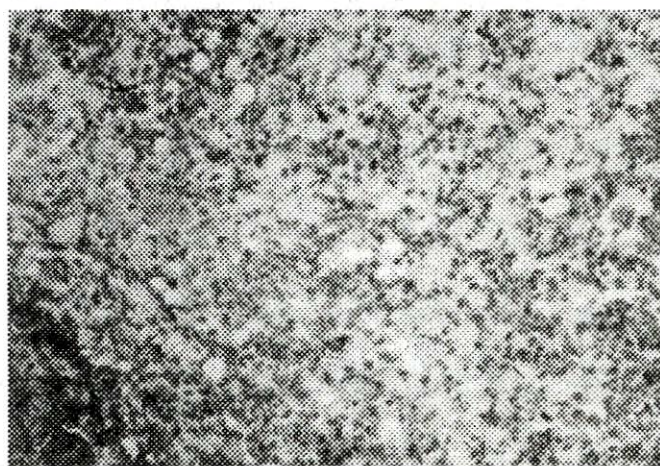
Otopsi Bulguları: Karın boşluğunda, omentum üzerinde ve barsaklar arasında sarı, kısmen fibrinöz bir kitle çökelmişti. Omentum nodüller görünümde ve büzülmüş olup, barsakları kısmen birbirlerine yapışmışlardı. Mide ve omentum arasında da yapışmalar vardı. Karaciğer ve dalağın kapsülásında şiddetli fibrin oluşumu vardı. Akciğer boşluğunda herhangi bir sıvı saptanamadı ancak akciğerlerde atelektezi olduğu gözlandı.

Histopatolojik Bulgular: Karaciğer, dalak, duedonal ve mezenterik lenf düğümlerinin kapsülalarında ve mide, pankreas, duedonum, jejenum, omentum serozasında lenfosit, plazma hücreleri, makrofaj, köpük hücreleri, nötrofil infiltrasyonu ve bağ doku artışı ile karakterize şiddetli bir yanıt görüldü (Resim: 3). Mononükleer hücrelerin perivasküler kümelenmesi dikkat çekiyordu. Benzer perivasküler infiltrasyonlara beyinde substentia albada ve peribronchial damarların çevresinde de rastlandı. Akciğerlerin interalveoler septumu mononükleer hücre infiltrasyonuna bağlı olarak kalınlaşmış, pleura fibrözleşmiş, mezenterik hücreler küsim olarak değişime uğramışlardı. Karaciğer, dalak ve lenf düğümleri kapsülalarının yanısı paransim dokusuna kadar uzanıyordu. Mezenterik lenf nodülleri korteksi nekrotik olup, medullada şiddetli bir retikuloendotelial hücre infiltrasyonu dikkati çekiyordu, boşluklar pigmentli makrofajlar ve köpük hücreleri ile doluydu (Resim: 4). Kapsüler, serozal ve lenf düğümlerindeki paransimal yanıt hücreleri içerisindeki makrofajların sitoplasmalarında Ziehl-Nielsen ve Fite Faraco boyası ile acid-fast boyanan damlacıklar görüldü. Köpük hücreleri daha çok sitoplazma kenarında pozitif reaksiyon gösteriyordu ve sitoplasmaları vakuollerle dolu idi. Oil red - O ve Sudan Black ile boyanan parafin kesitlerde köpük hücrelerinin sitoplasmalarında çeperde ve makrofajlarda ise globül/granül tarzında pozitif reaksiyon gözlendi. Arteriol duvarında da pozitif reaksiyon vardı (Resim: 5). Ayrıca hücre duvarında schultz testi ile kolesterol (+) bir reaksiyon elde edildi (Resim: 6).

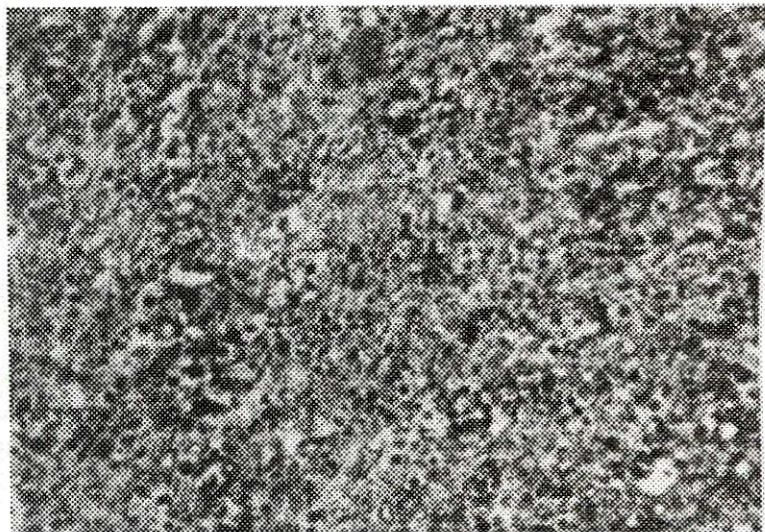
TARTIŞMA

Hiperşilomikronemi plazmada şilomikron konsantrasyonunu yükselmemesidir ve hiperşilomikronemili hastaların kanı aç iken yoğun ve bulanıktır¹⁰. Bu olguda hasta aç iken rutin hematoloji için alınan kanın kremalı domates çorbası

*Resim: 3
Duedonal lenf
nodülleri, omentum ve
mide serozasında ileri
derecede
pyogranülamatöz
yangı (H.E.x100)*

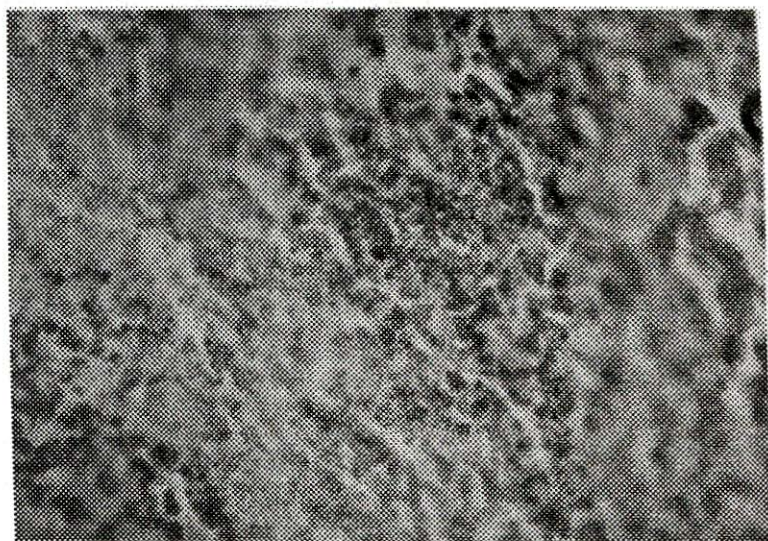


*Resim: 4
Duedonal lenf nodüllerinde subkapsüler köpük hücreleri (H.E.x400)
Subcapsular foam cells in the duedonal lymph nodes. (H.E.x400)*



Resim: 5

Duedonal lenf nodülü, Oil red 0 boyama, parafin kesit, köpük hücreleri ve makrofajların yağ damlacıkları şeklindeki pozitif reaksiyonu.x100
Duedonal lymph node. Positive globular reaction of the foam cells and macrophages by Oil Red 0 in the paraffin section x 100.



Resim: 6

Duedonal lenf nodülü, köpük hücreleri ve makrofajlarda kolesterol kristalleri. Schultz testi x 100.
Duedonal lymph node. Cholesterol crystals in the foam cells and macrophages. Schultz test, x 100.

görünümünde olması, daha sonra laboratuar muayeneler sonucunda trigliserit değerinin $> 500 \text{ mg/dl}$ bulunması^{3,11}, şilomikron testi sonucunun (+++) olarak değerlendirilmesi ve LPL testinde ilk değer ile ikinci değer arasında önemli düzeyde bir farklılık olmaması hastada hiperşilomikronemi bulunuğunu ve hiperşilomikroneminin kalitsal olabileceğini kanıtladı. Heparin uygulandıktan sonra LPL aktivitesinde gerekten artışın olmaması ve bu nedenle trigliserit düzeyinde değişikliğin şekillenmemesi hiperşilomikroneminin LPL eksikliğine bağlı ve genellikle kalitsal olduğunu belgeler^{17,18}. Kedide hiperşilomikronemiye ilişkin klinik bulgu olmaması düşündürücü idi ancak bu bulgu çok şiddetli hiperşilomikronemiye rağmen bazı kedilerde klinik bulgu gözlenmediği görüşü ile uyumlu bulundu³.

Kedideki asites bulgusu ilk anda FIP'i düşündürdü. Uygulanan sağaltıma rağmen hematokrit, eritrosit ve hemoglobin değerlerinin giderek düşmesi, neutrophilic leukocytosis ve relativ lenfopeni FIP'lı hastaların leukogramına uyum gösteriyordu^{15,18}. Hidrasyonu normal olmasına rağmen TP değerinin yüksek olması da belirtildiği gibi³ tanı açısından destekleyici bir bulgu olarak değerlendirildi. Bu olguda histopatolojik lezyonlar serozal yüzeylerde ve subkapsulada sınırlı kalan ancak zaman zaman parankima içerisinde uzanan pyogranülamatöz reaksiyonlar ve belirgin proliferatif değişiklikler halinde görüldü. Serum ve efüzyonun PCR analizleri ile yukarıda tartışılan bulgular desteklendi ve olayın FIP olduğu kesinlik kazandı.

FIP'te serozal yüzeylerde mesothelial hücrelerde proliferasyon, metaplazi, spindle hücre formasyonu^{5,13} şekillenmekte ve virusun bu hücreleri hedef seçtiği vurgulanmaktadır. Bu olguda mesothelial değişikliklere akciğer, karaciğer ve dalak gibi organların serozalarında rastlanmıştır. Benzer şekilde küçük vena ve arteriollerde endotelial hücrelerde desquamasyon ve medial değişiklikler de bildirilmiştir²⁰. Olguda benzeri damar değişimlerine serozal yüzeylerdeki ve dalak trabeküllerindeki küçük vena ve arteriollerde rastlanmıştır. Sudan Black B ve Oil red 0 ile boyanmış parafin kesitlerde damar duvarlarında pozitif reaksiyon görülmüş, Schultz testi ile yer yer kolesterol kolesterol pozitif sonuç alınmıştır²¹. Serozal yüzeylerdeki ve damar çevresindeki hücre infiltrasyonu nötrofiller, makrofajlar, lenfositler ve plazma hücrelerinden oluşmakta ve lezyonlarda koagülasyon nekrozları da görülmektedir^{14,16}. Bu olguda FIP için karakteristik kabul edilen hücre infiltrasyonlarının ve koagülasyon nekrozlarının^{13,22} dışında dev hücrelerine ek olarak fazla miktarda köpük hücrelerine de rastlanmıştır²³. Köpük hücrelerine steatitiste¹⁶, xanthomatose¹¹, membran tahribinin şiddetli olduğu kronik olaylarda²² rastlanmaktadır. Bu olguda histokimyasal boyalar ile makrofajlar içerisinde ceroid pigmentine ve demir birikimleri de saptanmıştır^{22,23}. Köpük hücreleri ise dondurma kesitleri ile yoğun yağ pozitif, ceroid için kısmen pozitif sonuç vermiştir. Köpük hücrelerinde ve bazı makrofajlarda Schultz testi ile ve natif

kesitlerin polarize ışık altında incelenmesiyle kolesterol pozitif sonuç alınmıştır. Kolesterol kristallerine kronik yangılarda ve xanthomatosis'de rastlanabildiği gibi hiperlipoproteinemiada da rastlanmaktadır^{7,11}.

Bu olgudaki efüzyon, FIP'teki efüzyon bulgularından farklı olarak, süt görünümünde olması, hava ile temas ettiğinde pihtlaşmaması ve santrifüj edildiğinde renginin açılmaması ile öncelikle chylous effusion olarak değerlendirilmiş, ancak kolesterol/triglisiter oranı (>1) ve ether testi ile rengin açılmaması klinik olarak pseudochyle olduğunu belgelemiştir. Pseudochylous effusion kedi ve köpeklerde nadiren görülen bir durumdur¹⁹. Olguya ait efüzyonun kolesterol düzeyinin yüksek olması ve sıvıda kolesterol kristallerinin görülmesi, nedeni bilinmeyen hiperlipoproteinemik plazmanın FIP nedeni ile damar geçirgenliğinin artmasına bağlı olarak dışarıya sızmasına ile açıklanabilir.

Olguda karın kaslarında şekillenen pyogranülamatöz nitelikteki cep tarzında oluşan boşluğa proliferasyon gösteren yanık efüzyonun kaslar arasına sızmasına bağlanabilecegi gibi bu tür lezyonlara hiperlipoproteinemiye bağlı xanthomatose reaksiyonlarda da rastlanıldığı bilinmektedir¹¹.

Sunulan olguda kesin pathogenesisi açıklanamamakla birlikte, hipersilomikronemiye yol açan diabetes mellitus ve ilaç uygulamaları ile sekonder nedenler elimine edilmiş ve LPL testi bazında hipersilomikroneminin LPL eksikliğine bağlı olarak geliştiği ve primer olduğu kanısına varılmıştır. Serum ve efüzyonun PCR ile FIP pozitif sonuç vermesi histopatolojik olarak da doğrulanmış ancak hipersilomikroneminin FIP ile komplike olması tam olarak açıklanamamıştır.

KAYNAKLAR

1. BARRIE, J., NASH, A.S. and WATSON, T.D.G.: Quantitative analysis of canine plasma lipoproteins. *Journal of Small Animal Practice*, 34: 226-231 (1993).
2. BARRIE, J., WATSON, T.D.G., STEAR, M.J. and NASH, A.S.: Plasma cholesterol and lipoprotein concentrations in the dog: The effects of age, breed, gender and endocrine disease. *Journal of Small Animal Practice*, 34: 507-512 (1993).
3. BOYD, J.: Feline Hyperlipidemia. *Textbook of Veterinary Internal Medicine Diseases of the Dog and Cat*, Third Edition, Vol. I, Ed: S.J. Ettinger, W.B. Saunders Company, Philadelphia, 198-202 (1989).
4. BOYD, J.: Feline Hyperlipidemia. XVII WSAVA World Congress World Small Animal Veterinary Association 24th - 27th - September, Roma, 741-746 (1992).
5. FORD, R.B.: Idiopathic hyperchylomicronaemia in miniature schnauzers. *Journal of Small Animal Practice*, 34: 488-492 (1993).

6. JOHNSON, R.K.: Canine Hyperlipidemia. Textbook of Veterinary Internal Medicine Diseases of the Dog and Cat, Third Edition, Vol I, Ed: S.J. Ettinger, W. B. Saunders Company, Philadelphia, 203-208 (1989).
7. JONES, B.R.: Inherited hyperchylomicronaemia in the cat. Journal of Small Animal Practice, 34: 493-499 (1993).
8. WATSON, T.D.G., BARRIE, J.: Lipoprotein metabolism and hiperlipidaemia in the dog and cat: A review. Journal of Small Animal Practice, 34: 479-487 (1993).
9. CRISPIN, S.M.: Ocular manifestations of hyperlipoproteinaemia. Journal of Small Animal Practice, 34: 500-506 (1993).
10. WATSON, T.D.G., GAFFNEY, D., MONEY, C.T., THOMPSON, H., PACKARD, C.J., SHEPHERD, J.: Inherited hyperchylomicronaemia in the cat: Lipoprotein lipase function and gene structure. Journal of Small Animal Practice, 33: 213-217 (1992).
11. JOHNSTONE, A.C., JONES, B.R., THOMPSON, J.C., HANCOCK, W.S.: The pathology of an inherited hyperlipoproteinemia of cats. Journal of Comparative Pathology, 102: 2, 125-137 (1990).
12. WISSELINK, M.A., KOEMAN, J.P., WENSING, T., URUIJNE, J., WILLEMSE, T., DE BURUIJNE, J.: Hyperlipoproteinemia associated with atherosclerosis and cutaneous xanthomatosis in a cat. Veterinary Quarterly, 16: 4, 199-202 (1994).
13. CHEVILLE, N.F.: Introduction to Veterinary Pathology. Iowa State University Press. Second Printing (1990).
14. WEISS, R.C., SCOTT, F.W.: Pathogenesis of feline infectious peritonitis: Pathologic changes and immunofluorescence. Am. J. Vet. Res. 42, 2036-2048 (1981).
15. EGBERINGK, H.F., HERREWEGH, A.P.M., SCHUURMAN, N.M.P., Van der LINDE-SIPMAN, J.S., HORZINEK, M.C., deGROOT, R.J.: FIP, easy to diagnose? The Veterinary Quarterly, 17: 24-25 (1995).
16. HOLZWORTH, J.: Steatitis in: "Diseases of the cat. Medicine and Surgery", Ed. Jean Holzworth, W.B. Saunders Company, 799 (1987).
17. SPARKES, A.H., GRUFFYD - JONES, T.J., HARBOUR, D.A.: Feline infectious Peritonitis: a review of clinicopathological changes in 65 cases, and a critical assesment of their diagnostic value. Vet. Rec. 129, 209-212 (1991).
18. WEISS, R.C.: The diagnosis and clinical management of feline infectious peritonitis, Veterinary Medicine 86: 3, 308-319 (1991).
19. STROMBECK, D.R., GULFORD, W.G.: Small Animal Gastroenteroloji, Stonegate Publishing, USA, 56-58 (1991).

20. HAYASHI, T., GOTO, N., TAKAHASHI, R., FUJIWRA, K.: Systemic Vascular Lesions in feline infectious peritonitis. Jap. J. Vet. Sci. 39, 365-377 (1977).
21. LUNA, L.G.: Manual of Histologic Staining Methods of the Armed Forces Institute of Pathology. 3rd Ed. The Blankiston Division McGraw Hill Book Company, Newyork (1968).
22. THOMPSON, S.W., HUNT, R.D.: Selected histochemical and histopathological methods, Charles C. Thomas Publisher, Springfield, Illinois, USA (1966).
23. TRAUTWEIN, G.W.: The occurrence of acid-fast lipopigments in animals. Am. J. Vet. Res. 23: 134-145 (1962).